

ニュートン図形と幾何学 多項式写像の非固有点軌跡について

数学特別講義 XX 2021 年 10 月 8 日 (金) 5 限 担当 福井敏純

多項式に対しニュートン多角形と呼ばれるものを定めることができる. x, y を変数とする多項式

$$f(x, y) = \sum_{i,j} a_{i,j} x^i y^j$$

に対し, 集合 $\{(i, j) : a_{i,j} \neq 0\}$ の凸包を多項式 f のニュートン多角形といい $\Delta = \Delta(f)$ で表す. ニュートン多角形は多項式 f の定める幾何学的対象の情報を想像以上に多く含んでいる. その一端を紹介するのが今日の目的である.

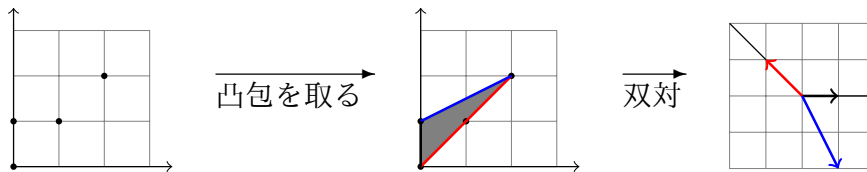
整数点 $\mathbf{p} = (p_1, p_2)$ に対し, 次の様に定める.

$$d_{\Delta}(\mathbf{p}) = \min\{\langle \mathbf{p}, \boldsymbol{\nu} \rangle : \boldsymbol{\nu} \in \Delta(f)\}$$

$$\gamma_{\Delta}(\mathbf{p}) = \{\boldsymbol{\nu} \in \Delta : \langle \mathbf{p}, \boldsymbol{\nu} \rangle = d_{\Delta}(\mathbf{p})\}$$

$$f_{\mathbf{p}} = \sum_{(i,j) \in \gamma_{\Delta}(\mathbf{p})} a_{i,j} x^i y^j$$

例 1. $f(x, y) = x^2 y^2 + xy + y + 1$ のとき, まず点 $(2, 2), (1, 1), (0, 1), (0, 0)$ をとる.



多項式 f の零点集合とニュートン多角形 $\Delta(f)$ の間には深い関係があるが本日は説明しない.

本日は多項式写像 $\mathbf{f} = (f^1, f^2) : \mathbb{C}^2 \rightarrow \mathbb{C}^2$ を考える. 写像 \mathbf{f} の幾何学もニュートン図形と密接に関連している. 例えば次の事実はよく知られている.

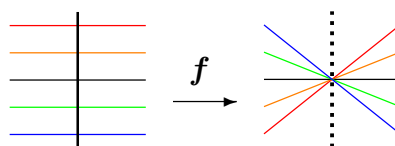
f^1, f^2 を定数項のある多項式とし, 多項式写像 $\mathbf{f} = (f^1, f^2) : \mathbb{C}^2 \rightarrow \mathbb{C}^2$ に対し, ニュートン図形 $\Delta(f^1), \Delta(f^2)$ を考え, 次のミンコフスキー和を考える.

$$\Delta(\mathbf{f}) = \Delta(f^1) + \Delta(f^2) = \{\boldsymbol{\nu}_1 + \boldsymbol{\nu}_2 : \boldsymbol{\nu}_1 \in \Delta(f^1), \boldsymbol{\nu}_2 \in \Delta(f^2)\}$$

写像 \mathbf{f} による一般の点の逆像が有限個の点ならば, その個数は (重複度込みで) 次の値である.

$$\Delta(\mathbf{f}) \text{ の面積} - \Delta(f^1) \text{ の面積} - \Delta(f^2) \text{ の面積}$$

例 2. $\mathbf{f} : \mathbb{C}^2 \rightarrow \mathbb{C}^2, (x_1, x_2) \mapsto (y_1, y_2) = (x_1, x_1 x_2)$.



$\mathbf{x}(t) = (t, a/t)$ と置くと, $F(\mathbf{x}(t)) = (t, a)$ なので

$$\lim_{t \rightarrow 0} \mathbf{x}(t) = \infty, \quad \lim_{t \rightarrow 0} F(\mathbf{x}(t)) = (0, a) \quad (1)$$

定義 3 像の点 $\mathbf{y} \in \mathbb{C}^2$ が $\mathbf{f} : \mathbb{C}^2 \rightarrow \mathbb{C}^2$ の非固有点であるとは, 次を満たす弧 $\mathbf{x}(t)$ が存在するときを言う.

$$\lim_{t \rightarrow 0} \mathbf{x}(t) = \infty, \quad \lim_{t \rightarrow 0} \mathbf{f}(\mathbf{x}(t)) = \mathbf{y}$$

写像 \mathbf{f} の非固有点全体を非固有点軌跡といい $S_{\mathbf{f}}$ で表す.

例 2 の場合は (1) より $S_{\mathbf{f}} = \{y_1 = 0\}$ がわかる.

昨年度, ニュートン図形を用いて $S_{\mathbf{f}}$ を表す公式を証明したので紹介する.

$\mathbf{p} \in \mathbb{Z}^2$ に対し $\mathbf{f}_{\mathbf{p}} = (f_{\mathbf{p}}^1, f_{\mathbf{p}}^2)$, $J(\mathbf{p}) = \{j : \mathbf{0} \notin \gamma_{\Delta(f^j)}(\mathbf{p})\}$ とおき, $Z_{\mathbf{p}}$ を次で定める.

$$Z_{\mathbf{p}} = \{\mathbf{x} \in (\mathbb{C}^*)^2 : f_{\mathbf{p}}^j(\mathbf{x}) = 0 \ (j \in J(\mathbf{p}))\}$$

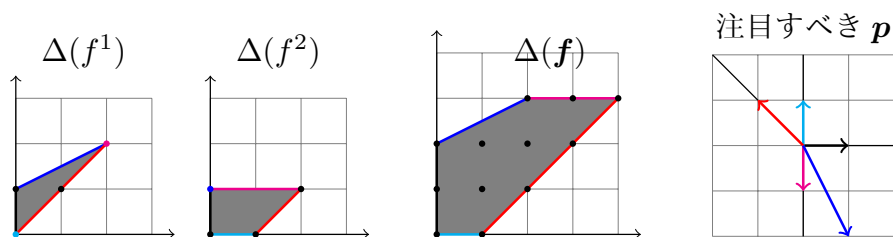
注意 4. $\gamma_{\Delta(f^j)}(\mathbf{p})$ が頂点であるような $j \in J(\mathbf{p})$ が存在すれば $Z_{\mathbf{p}} = \emptyset$.

定理 5 (with T.Tsuchiya) 各 f^j が非零定数項を持ち, 各 $\mathbf{p} \in \mathbb{Z}^2 \setminus (\mathbb{Z}_{\geq})^2$ に対し $Z_{\mathbf{p}}$ の正則点全体が $Z_{\mathbf{p}}$ で稠密ならば

$$S_{\mathbf{f}} = \bigcup_{\mathbf{p} \in \mathbb{Z}^2 \setminus (\mathbb{Z}_{\geq})^2} S_{\mathbf{p}}, \quad S_{\mathbf{p}} = \overline{\mathbf{f}_{\mathbf{p}}^{J^c}(Z_{\mathbf{p}})} \times \mathbb{C}^{J(\mathbf{p})}.$$

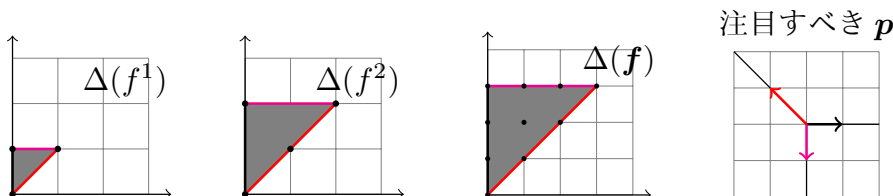
但し $\mathbf{f}_{\mathbf{p}}^{J^c} : \mathbb{C}^J \rightarrow \mathbb{C}^{J^c}$, $\mathbf{x} \mapsto (f_{\mathbf{p}}^j)_{j \notin J}$, $J^c = \{1, 2\} \setminus J$, $J = J(\mathbf{p})$.

例 6. $(f^1(x_1, x_2), f^2(x_1, x_2)) = (x_1^2 x_2^2 + x_1 x_2 + x_2 + 1, x_1^2 x_2 + x_2 + x_1 + 1)$



$$S_{\mathbf{f}} = S_{(-1,1)} = \mathbf{f}^1(Z_{(-1,1)}) \times \mathbb{C} = \{x_1^2 x_2^2 + x_1 x_2 + 1 : x_1 x_2 + 1 = 0\} \times \mathbb{C} = \{1\} \times \mathbb{C}$$

例 7. $(f^1(x_1, x_2), f^2(x_1, x_2)) = (x_1 x_2 + x_2 + 1, x_1^2 x_2^2 + x_2^2 + x_1 x_2 + 1)$



$$\begin{aligned} S_{\mathbf{f}} = S_{(-1,1)} &= \{(y_1, y_2) : \exists (x_1, x_2) \in (\mathbb{C}^*)^2 \ (y_1, y_2) = (x_1 x_2 + 1, x_1^2 x_2^2 + x_1 x_2 + 1)\} \\ &= \{(y_1, y_2) : y_2 - y_1^2 + y_1 - 1 = 0\} \end{aligned}$$

注意. 定理 5 は種々の一般化が可能だが詳細は省略する.